



DEEC

DEPARTAMENTO DE ENGENHARIA
ELECTROTÉCNICA E DE COMPUTADORES

TÉCNICO LISBOA

Electrónica Geral

José Gerald

Mestrado em Engenharia Aeroespacial
Licenciatura em Engenharia Física Tecnológica
Licenciatura em Engenharia Aeroespacial

MEAer: 1º ano, 1º semestre

LEFT: 3º ano, 1º semestre

LEAer: 3º ano, 1º semestre

2021/2022

Capítulo 4

Osciladores

1. Introdução

1.1. Introdução

- Osciladores são circuitos que geram sinais periódicos (sinusoidais, quadrados, dente de serra, etc.), actualmente até frequências da ordem dos GHz.
- Têm aplicações em telecomunicações (portadoras, misturadores, etc.), video (varrimentos), DSP (relógios) e na electrónica em geral.
- Podem dividir-se em osciladores sinusoidais (lineares) e de relaxação (não lineares).

1. Introdução

1.1. Introdução (cont.)

Osciladores Sinusoidais:

- Baseados em filtros muito selectivos e amplificadores com realimentação positiva fraca.
- Pólos sobre o eixo imaginário.
- Regime transitório (amplitude e frequência) quando se muda a frequência.
- Osciladores RC:
 - 10 Hz até 1 MHz
 - Podem ter distorção relevante, devida à malha não linear de controlo da amplitude, que gera harmónicas pouco filtradas na malha β (RC).
- Osciladores LC e com cristal:
 - 100 kHz a centenas de MHz.
 - Factores de qualidade, Q , elevados.
 - Faixa de sintonia estreita (no limite só uma frequência de oscilação, para osciladores com cristal).

Osciladores de Relaxação:

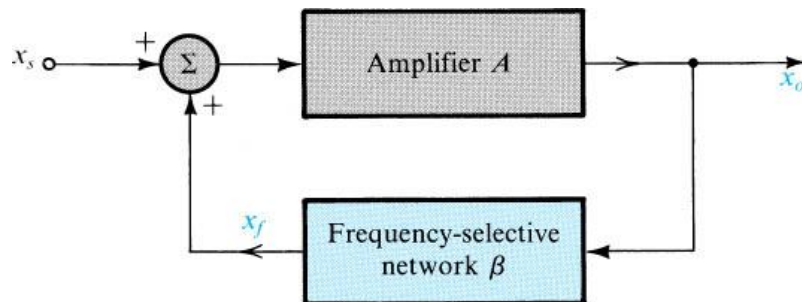
- Baseados em amplificadores com forte realimentação positiva, com dois estados estáveis (astáveis) e malhas integradoras que definem o tempo de mudança de estado.
- Apesar de serem não lineares, a forma de onda de saída pode ser processada por forma a obter-se uma sinusóide aproximada (via filtragem) ou qualquer outra forma de onda clássica (dente de serra, triangular, etc.) via integração/diferenciação ou comparação do sinal.

1. Introdução e princípios básicos (cont.)

1.2. Critério de Barkhausen

$$\begin{cases} x_0 = A(x_s + x_f) \\ x_f = \beta x_0 \end{cases} \quad x_0(s) = A(s)[x_s(s) + \beta(s)x_0(s)]$$

$$A_f(s) = \frac{x_0(s)}{x_s(s)} = \frac{A(s)}{1 - A(s)\beta(s)}$$



$$x_0(s) = \frac{A(s)}{1 - A(s)\beta(s)} x_s(s)$$

Num oscilador a entrada não existe: $x_s(s) = 0$

Se considerarmos que existe sinal na saída: $x_0(s) \neq 0$

A única hipótese é que se anule o denominador da função de transferência: $1 - A(s)\beta(s) = 0$

Conduzindo assim ao designado **CRITÉRIO DE BARKHAUSEN** que determina a frequência de oscilação ω_0 e a condição de oscilação.

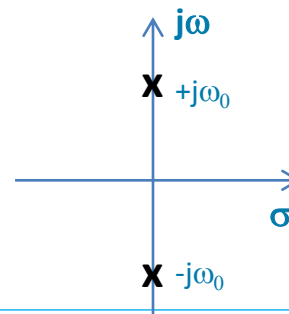
$$A(j\omega_0)\beta(j\omega_0) = 1 \quad \Rightarrow \quad \begin{cases} |A(j\omega_0)\beta(j\omega_0)| = 1 \\ \arg\{A(j\omega_0)\beta(j\omega_0)\} = 0 \end{cases} \quad \text{ou} \quad \begin{cases} \operatorname{Re}\{A(j\omega_0)\beta(j\omega_0)\} = 1 \\ \operatorname{Im}\{A(j\omega_0)\beta(j\omega_0)\} = 0 \end{cases}$$

Outra forma de estudar um circuito oscilador consiste na análise dos polos do circuito, que são as raízes da equação característica $1 - A\beta = 0$

Para que possam acontecer oscilações sustentadas à frequência ω_0 a equação característica tem que ter raízes a:

$$s = \pm j\omega_0$$

Sendo que: $1 - A(j\omega_0)\beta(j\omega_0)$ terá que ter a forma: $s^2 + \omega_0^2$

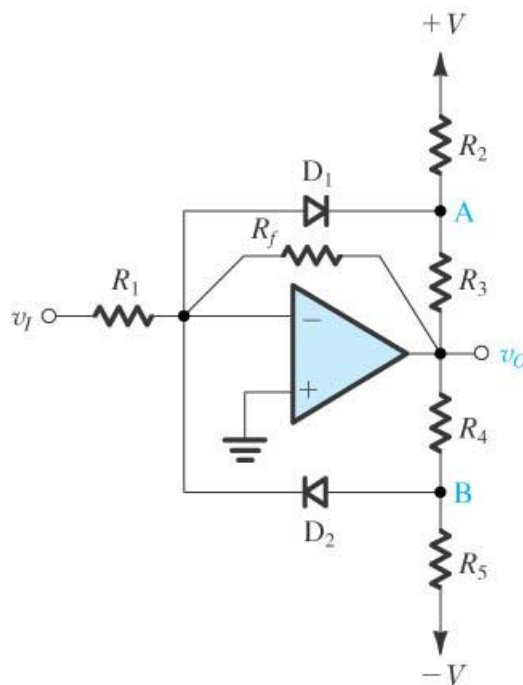


1. Introdução e princípios básicos (cont.)

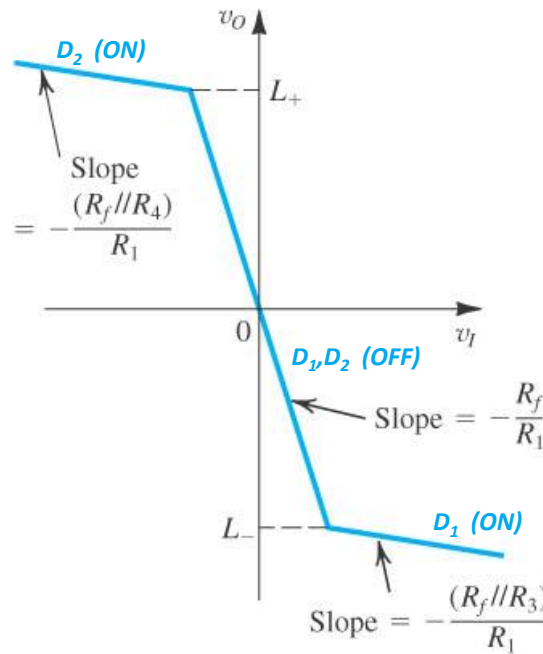
1.3. Exemplo de circuitos de controlo da amplitude das oscilações

Para pequenas amplitudes o ganho do circuito vale $-R_f/R_1$

A partir de determinados valores de amplitude de oscilação o ganho baixa substancialmente, provocando num oscilador a estabilização da amplitude das oscilações



Circuito de controlo da amplitude das oscilações



Resposta do circuito

Considerando D_1 e D_2 ao corte:

$$v_0 = -\frac{R_f}{R_1} \begin{cases} v_A > -V_\gamma \\ v_B < V_\gamma \end{cases}$$

$$\text{com} \begin{cases} v_A = \frac{R_3}{R_2 + R_3} V + \frac{R_2}{R_2 + R_3} v_0 \\ v_B = -\frac{R_4}{R_4 + R_5} V + \frac{R_5}{R_4 + R_5} v_0 \end{cases}$$

$$\begin{cases} L_+ = \frac{R_4}{R_5} V + \left(1 + \frac{R_4}{R_5}\right) v_\gamma \\ L_- = -\frac{R_3}{R_2} V - \left(1 + \frac{R_3}{R_2}\right) v_\gamma \end{cases}$$

Ganho considerando D_1 ou D_2 a conduzir:

$$\begin{cases} v_0 = -\frac{R_f // R_3}{R_1} v_I & D_1 \text{ (on)} \\ v_0 = -\frac{R_f // R_4}{R_1} v_I & D_2 \text{ (on)} \end{cases}$$

2. Osciladores RC activos

2.1. Oscilador em ponte de Wien

Amplificador: $A = \frac{v_o}{v_a} = 1 + \frac{R_2}{R_1}$

Malha de realimentação:

$$\beta = \frac{v_a}{v_o} = \frac{Z_p}{Z_s + Z_p} = \frac{\frac{R/sC}{R + 1/sC}}{\frac{1}{sC} + R + \frac{R/sC}{R + 1/sC}} = \frac{1}{3 + sRC + \frac{1}{sRC}}$$

Ganho em malha aberta:

$$A\beta = \frac{1 + \frac{R_2}{R_1}}{3 + sRC + \frac{1}{sRC}}$$

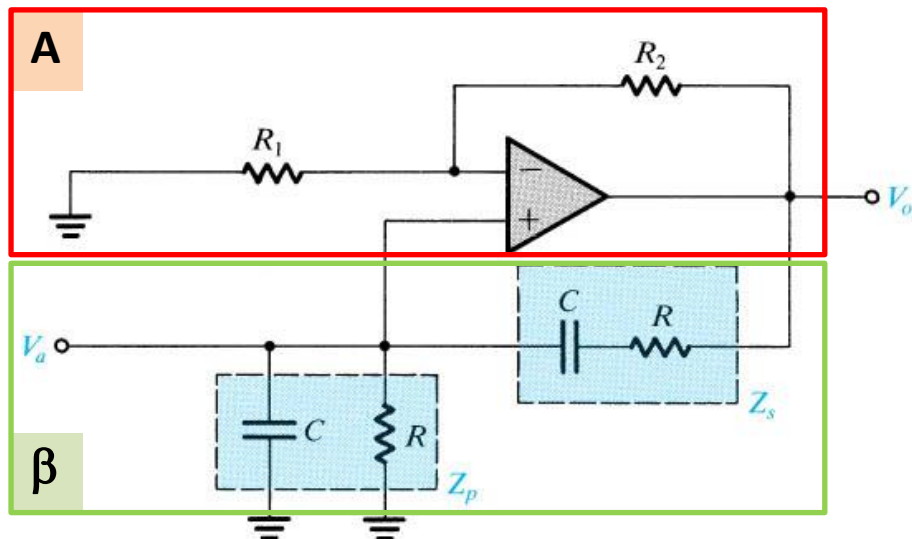
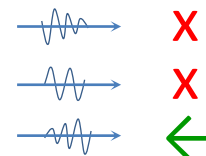
Aplicando o critério de Barkhausen:

$$A\beta|_{s=j\omega_0} = 1 \Rightarrow \frac{1 + \frac{R_2}{R_1}}{3 + j\left(\omega_0 RC - \frac{1}{\omega_0 RC}\right)} = 1 \quad \left\{ \begin{array}{l} \text{Re}\{A\beta\} = 1 \Rightarrow 1 + \frac{R_2}{R_1} = 3 \quad R_2 = 2R_1 \\ \text{Im}\{A\beta\} = 0 \Rightarrow \omega_0 RC = \frac{1}{\omega_0 RC} \end{array} \right. \quad \left\{ \begin{array}{l} k_{\min} = 3 \\ \omega_0 = \frac{1}{RC} \end{array} \right.$$

$K < k_{\min}$ Polos no semiplano esquerdo (oscilação com amplitudes decrescentes)

$K = k_{\min}$ Polos sobre o eixo imaginário (oscilação com amplitudes constantes - marginal)

$K > k_{\min}$ Polos no semiplano direito (oscilação com amplitudes crescentes)

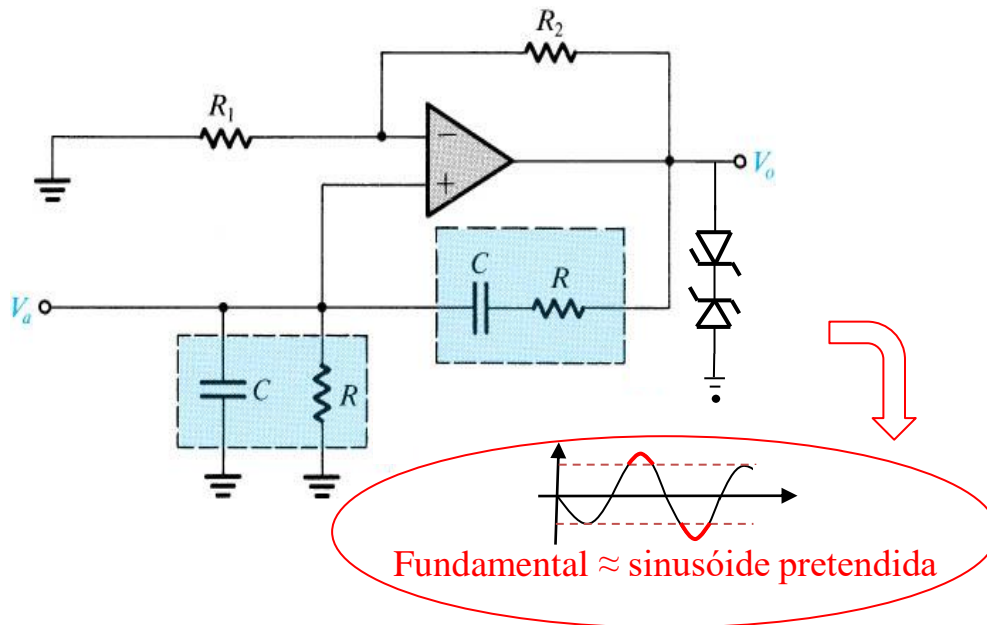


2. Osciladores RC activos (cont.)

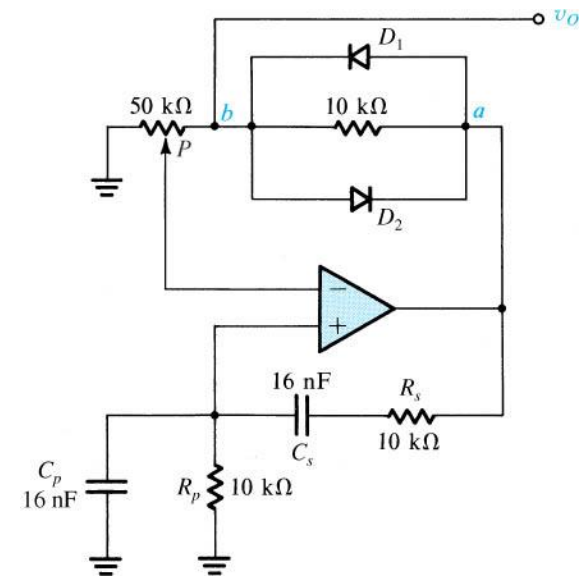
O oscilador é projectado para que no arranque as oscilações tenham amplitude crescente, colocando-se um circuito limitador que vai impor a amplitude das oscilações

$$k > k_{\min} \quad \frac{k}{k_{\min}} = MG = \text{margem de ganho}$$

Circuitos de controlo da amplitude das oscilações:



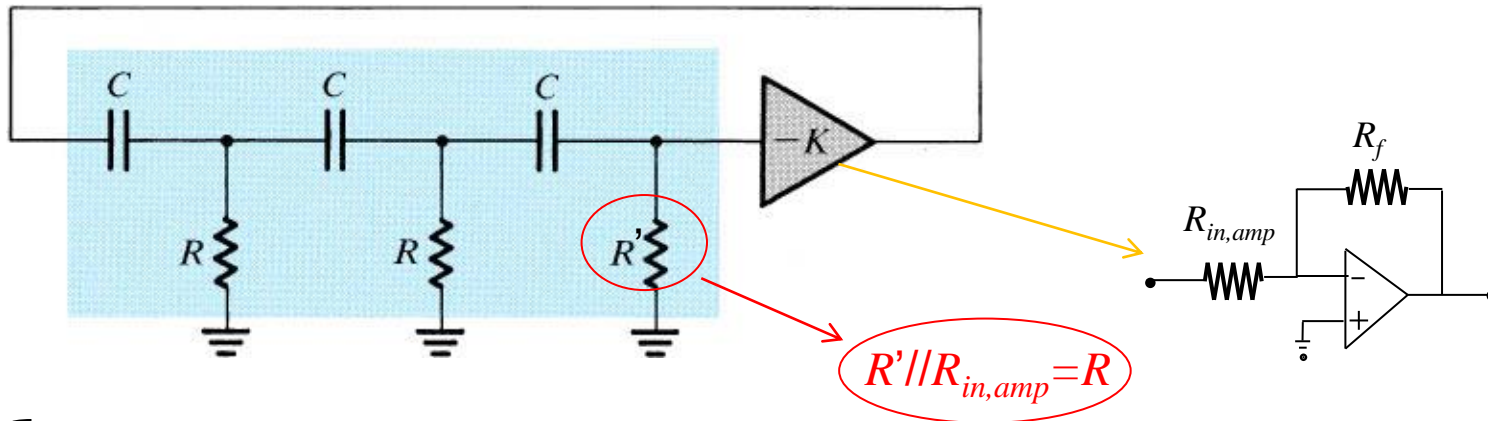
Alternativa



2. Osciladores RC activos (cont.)

2.2. Oscilador de desvio de fase

O ganho do amplificador é $-K$, assim o circuito oscila quando a diferença de fase do circuito RC à frequência de oscilação vale 180°



$$\begin{cases} A = K \\ \beta(s) = \frac{s^3}{s^3 + \frac{6}{RC}s^2 + \frac{5}{R^2C^2}s + \frac{1}{R^3C^3}} \end{cases}$$

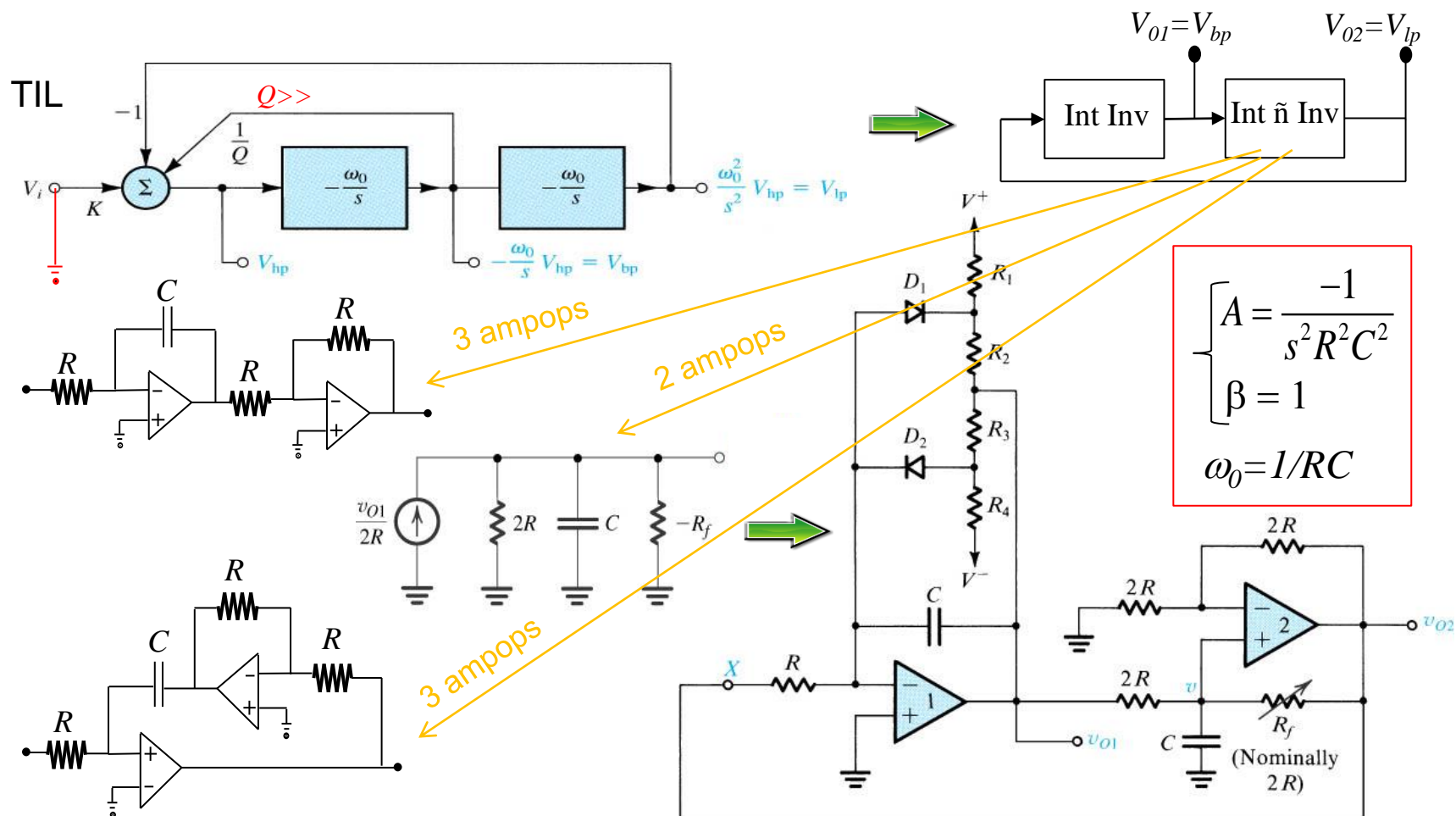
Pelo critério de Barkhausen: $A\beta=1 \Rightarrow \begin{cases} \text{Arg}\{\beta\}=0 \\ K=1/|\beta| \text{ para } \omega=\omega_0 \end{cases}$

$\omega_0 = \frac{1}{\sqrt{6}RC}$

$K=29$

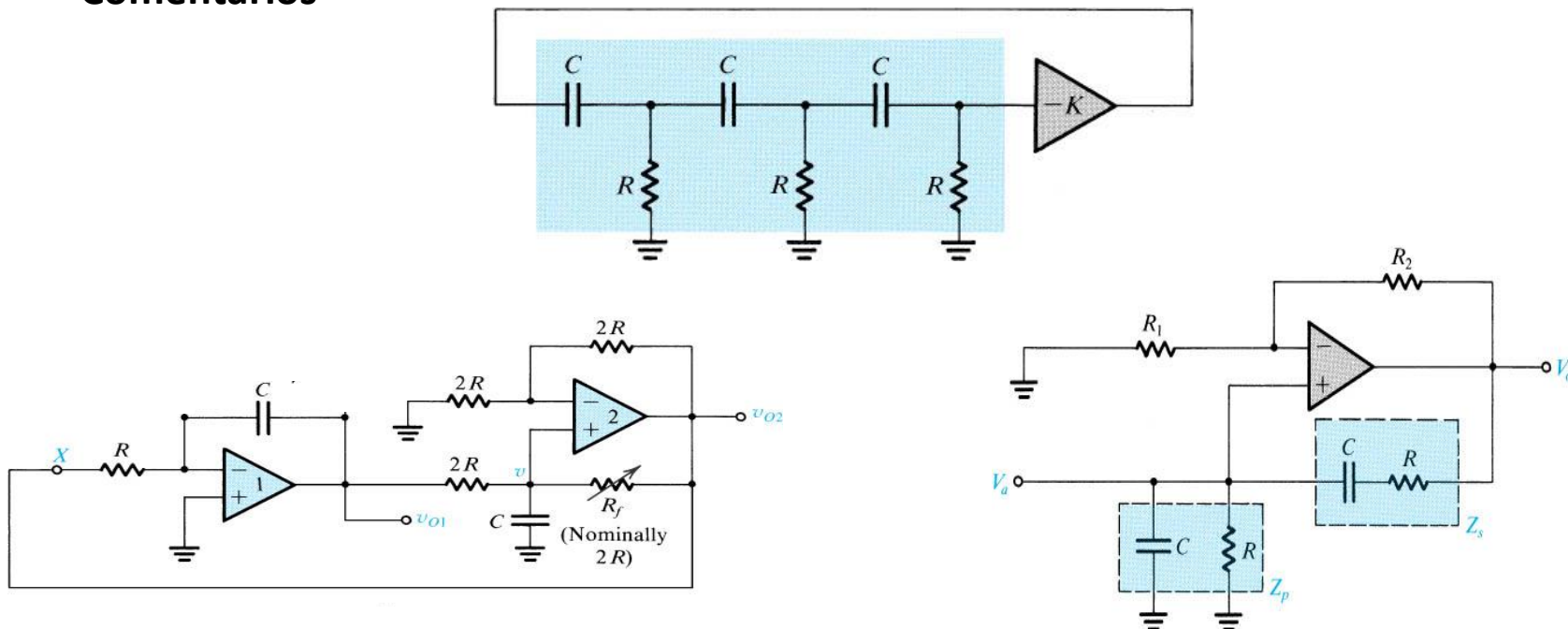
2. Osciladores RC activos (cont.)

2.3. Oscilador em quadratura



2. Osciladores RC activos (cont.)

Comentários



- O oscilador de quadratura fornece duas sinusóides em quadratura, o que é vantajoso em sistemas de telecomunicação, apresenta pouca distorção mas requer mais hardware (2 ampops).
- O oscilador de desvio de fase apresenta pouca distorção (filtro de 3ª ordem), mas sem “buffering” requer um ganho mais elevado.
- O oscilador em ponte de Wien tem boa estabilidade na frequência mas apresenta um sinal de saída com alguma distorção.

2. Osciladores RC activos (cont.)

2.4. Outros Osciladores RC activos - Oscilador sintonizado com filtro activo

O circuito consiste num circuito passa-banda de elevado factor de qualidade Q ligado a uma malha de realimentação positiva com um limitador.

Outros osciladores podem obter-se de filtros activos dimensionando os polos sobre o eixo imaginário.

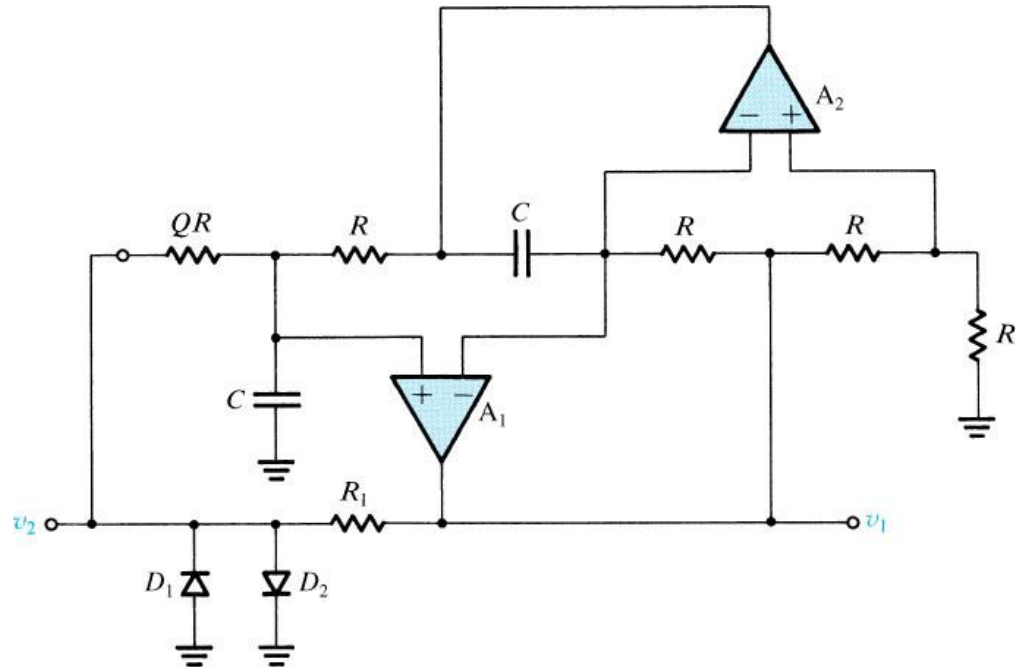
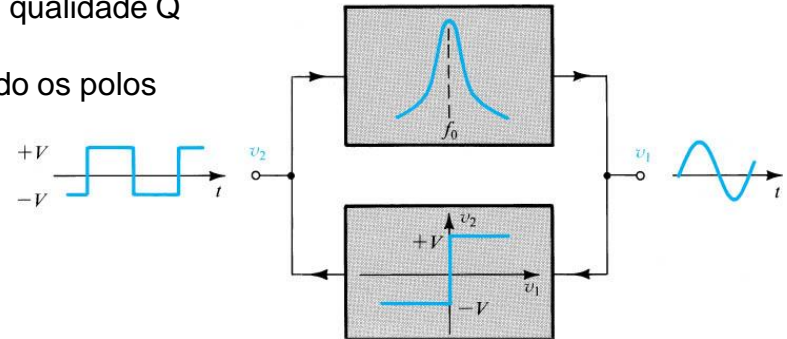
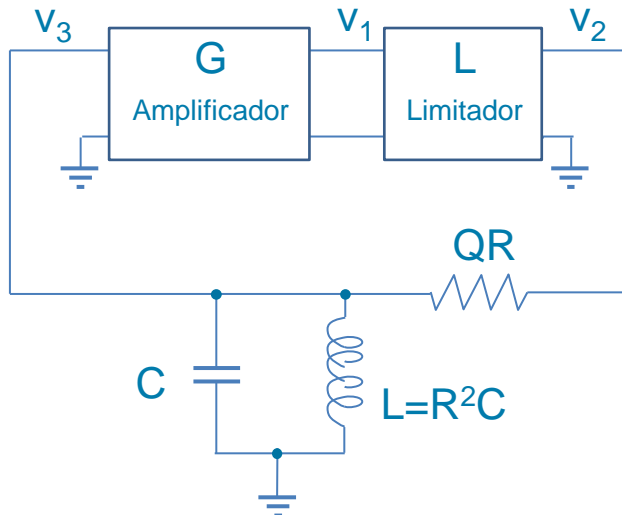
$$L = \frac{R_1 R_3 R_5 C_2}{R_4} = R^2 C$$

$$A = \frac{v_3}{v_2} = 2$$

$$\begin{cases} A = GL \\ \beta = \frac{\frac{s}{QRC}}{s^2 + \frac{s}{QRC} + \frac{1}{LC}} = \frac{\frac{s}{QRC}}{s^2 + \frac{s}{QRC} + \frac{1}{R^2 C^2}} \end{cases}$$

$$A\beta = \frac{A \frac{s}{QRC}}{s^2 + \frac{s}{QRC} + \frac{1}{R^2 C^2}}$$

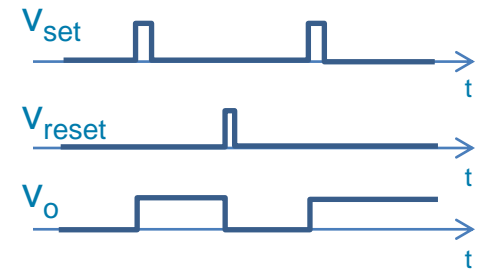
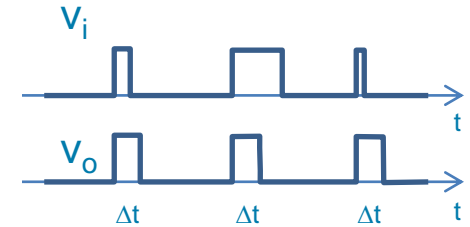
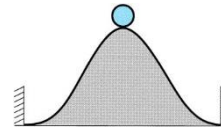
$$A\beta = 1 \Rightarrow \omega_0 = \frac{1}{RC}, A_{\min} = 1$$



3. Multivibradores biestáveis

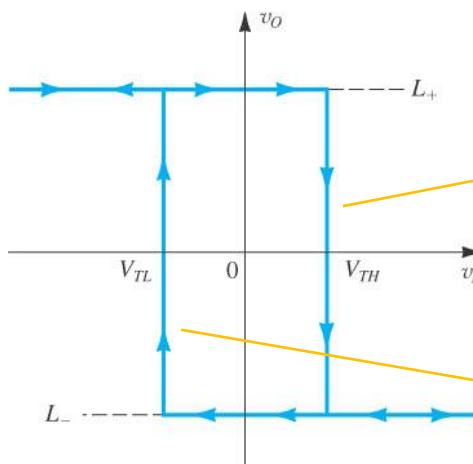
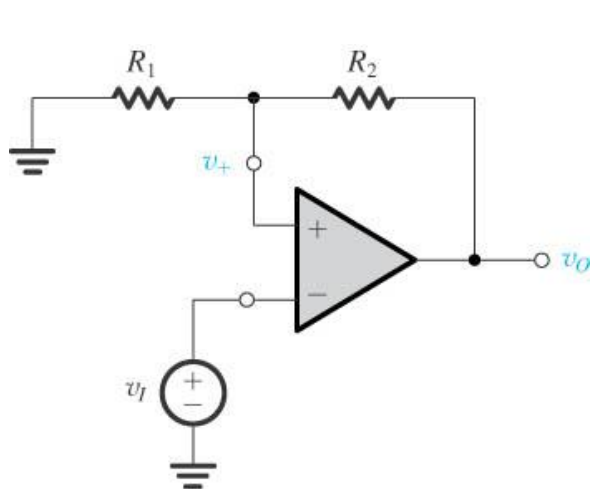
3.1. Definições

Multivibradores:	Monoestável	Quando alimentado com um impulso passa para a sua posição instável durante um período de tempo fixo (ΔT) e de seguida volta ao seu estado estável
	Biestável	Quando o circuito tem dois estados estáveis que mudam conforme as entradas <i>set</i> e <i>reset</i>
	Astável	Apresenta dois estados estáveis bem definidos estando a comutar entre os dois estados com intervalos de tempo também bem definidos, funcionando como oscilador não linear



3. Multivibradores biestáveis (cont.)

3.2. Circuitos biestáveis



Quando a saída está saturada positivamente (L_+)

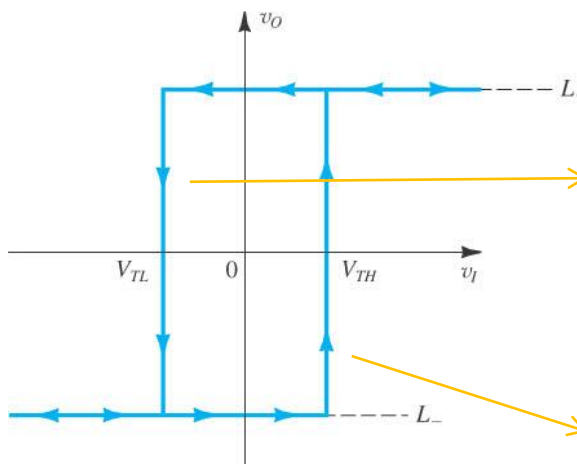
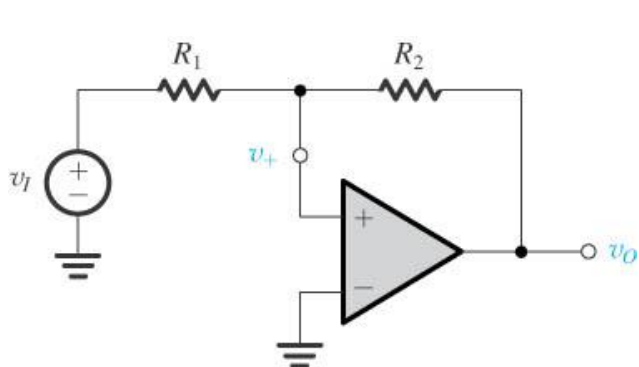
$$v_o = L_+ \Rightarrow v_+ = \frac{R_1}{R_1 + R_2} L_+ = V_{TH}$$

Quando $v_i > V_{TH}$, a saída muda de estado de L_+ para L_-

Quando a saída está saturada negativamente (L_-)

$$v_o = L_- \Rightarrow v_+ = \frac{R_1}{R_1 + R_2} L_- = V_{TL}$$

Quando $v_i < V_{TL}$, a saída muda de estado de L_- para L_+



Quando a saída está saturada positivamente (L_+)

$$v_o = L_+ \Rightarrow v_+ = \frac{R_1}{R_1 + R_2} L_+ + \frac{R_2}{R_1 + R_2} v_i \Rightarrow V_{TL} = -\frac{R_1}{R_2} L_+$$

Quando $v_i < V_{TL}$, a saída muda de estado de L_+ para L_-

Quando a saída está saturada negativamente (L_-)

$$v_o = L_- \Rightarrow v_+ = \frac{R_1}{R_1 + R_2} L_- + \frac{R_2}{R_1 + R_2} v_i \Rightarrow V_{TH} = -\frac{R_1}{R_2} L_-$$

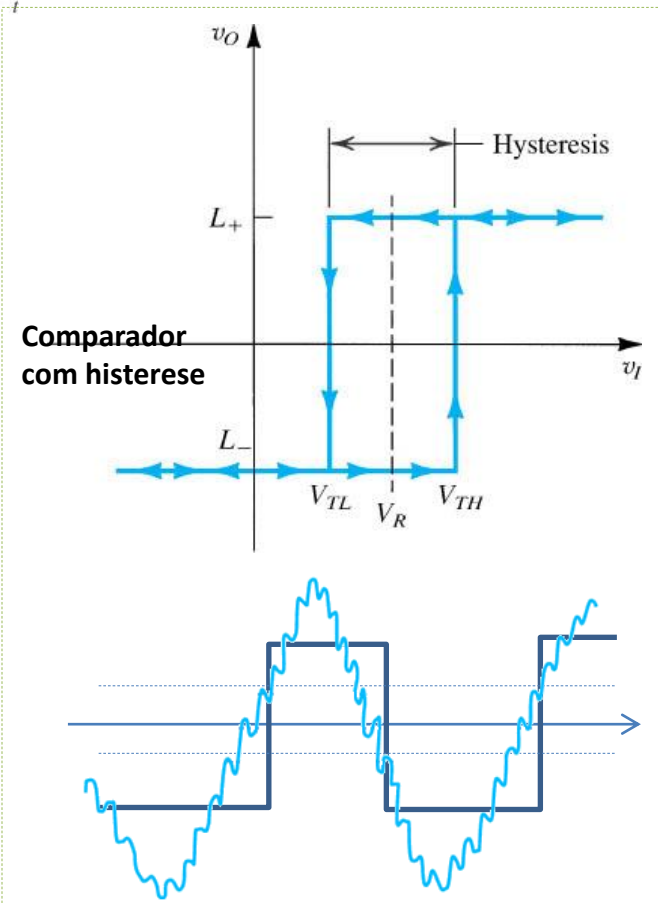
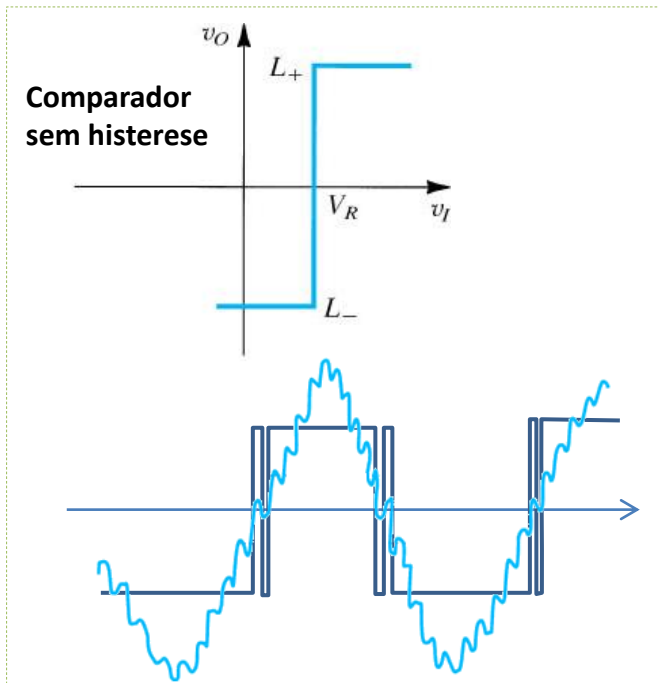
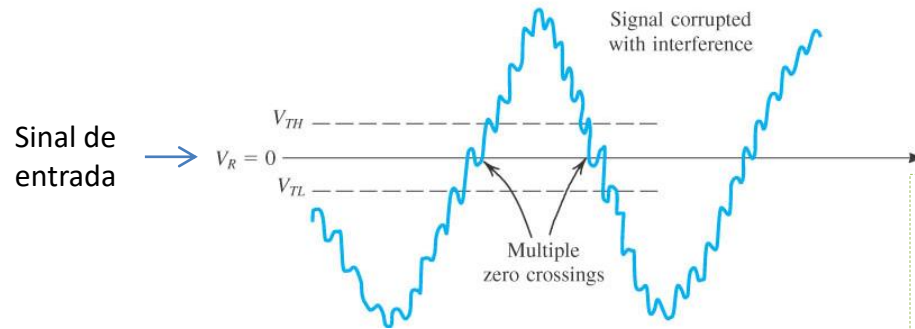
Quando $v_i > V_{TH}$, a saída muda de estado de L_- para L_+

Os circuitos apresentam memória, uma vez que com entradas iguais pode ter saídas diferentes, designando-se como um comparador com histerese

3. Multivibradores biestáveis (cont.)

3.3. Vantagem do comparador com histerese

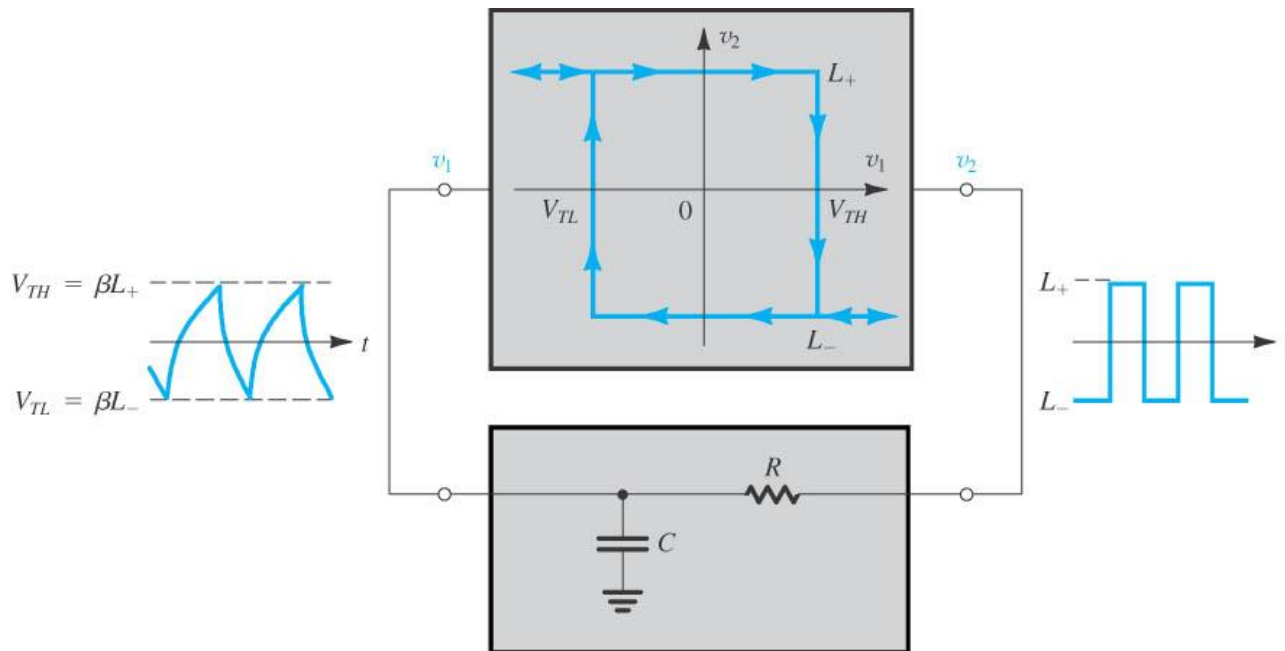
O comparador pode funcionar como detector de um nível V_R , em que a saída vale L_+ ou L_- conforme a entrada é superior ou inferior a V_R . A vantagem do comparador com histerese é que a detecção é insensível à presença de ruído com o sinal de entrada



4. Multivibradores astáveis

4.1. Geração de sinal quadrado e triangular através de multivibrador astável

Ligando um multivibrador biestável com característica inversora numa malha de realimentação com um circuito RC resulta num gerador de onda quadrada:



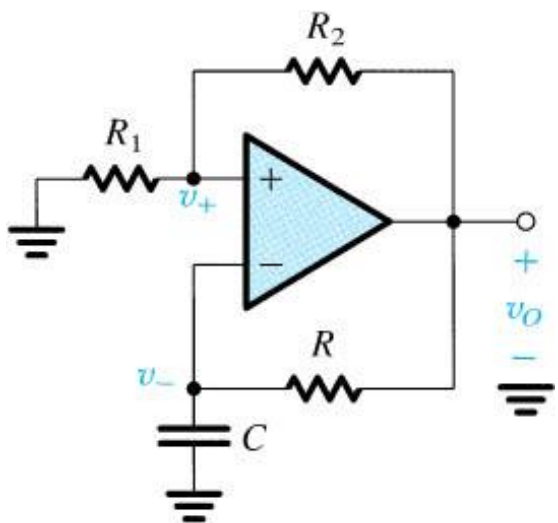
4. Multivibradores astáveis (cont.)

4.2. Operação do multivibrador astável

Quando a saída situa-se na tensão de saída negativa

O condensador encontra-se a descarregar, havendo uma mudança de estado ($L_- \rightarrow L_+$) quando a sua tensão atingir V_{TL}

O condensador inicia a sua carga desde V_{TL} até V_+ mudando o circuito de estado quando a tensão do condensador passa por V_{TH} conduzindo ao tempo T_1



$$v_0 = L_- \Rightarrow v_+ = \frac{R_1}{R_1 + R_2} L_- = \beta L_- = V_{TL}$$

$$v_C = V_{TL} \Rightarrow v_o = L_+$$

$$v_C = v_- = v_c(\infty) + [v_c(0) - v_c(\infty)]e^{-\frac{t}{RC}}$$

$$= L_+ + [V_{TL} - L_+]e^{-\frac{t}{RC}}$$

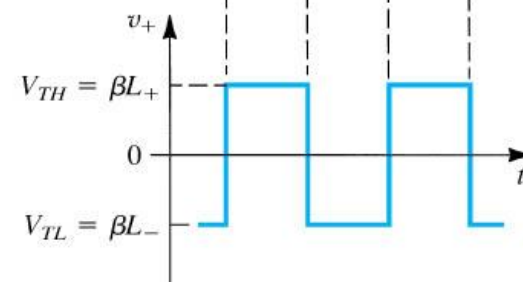
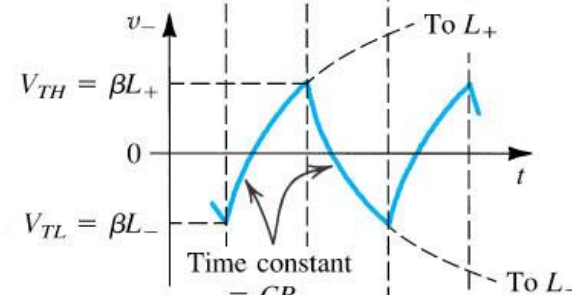
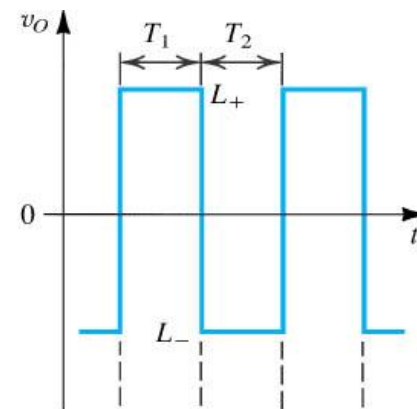
$$V_{TH} = L_+ + [V_{TL} - L_+]e^{-\frac{T_1}{RC}}$$

$$T_1 = RC \ln \left[\frac{1 - \beta \frac{L_-}{L_+}}{1 - \beta} \right]$$

$$T_2 = RC \ln \left[\frac{1 - \beta \frac{L_+}{L_-}}{1 - \beta} \right]$$

$$\text{Normalmente } L_+ = -L_-$$

$$\Rightarrow T = T_1 + T_2 = RC \ln \left[\frac{1 + \beta}{1 - \beta} \right]$$



4. Multivibradores astáveis (cont.)

4.3. Geração de ondas triangulares

As formas de onda exponenciais geradas no circuito astável podem ser substituídas por triangulares, caso o circuito RC seja substituído por um integrador

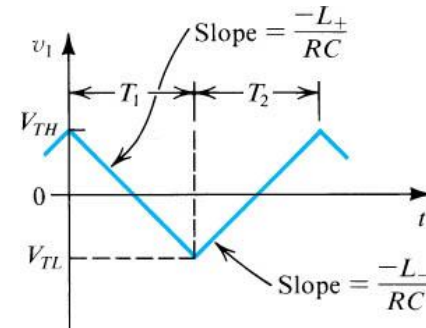
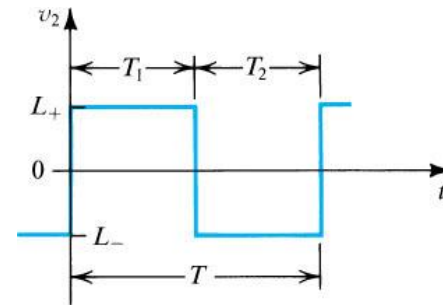
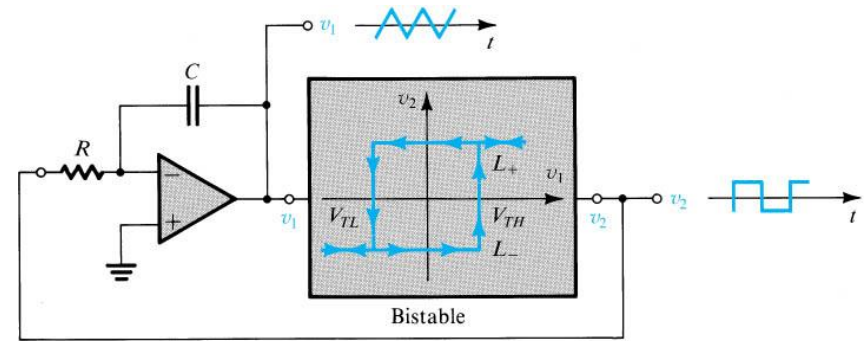
$$\begin{cases} v_2 = L_+ \Rightarrow v_1(t) = -\frac{L_+}{RC}t + v_1(0) & \text{Declive negativo} \\ v_2 = L_- \Rightarrow v_1(t) = -\frac{L_-}{RC}t + v_1(0) & \text{Declive positivo} \end{cases}$$

$$\begin{cases} T_1 = RC \frac{V_{TH} - V_{TL}}{L_+} \\ T_2 = RC \frac{V_{TH} - V_{TL}}{-L_-} \end{cases}$$

A forma de onda é simétrica caso $L_+ = -L_- = L$:

$$T = T_1 + T_2 = 2RC \frac{V_{TH} - V_{TL}}{L}$$

$$f = \frac{1}{T} = \frac{L}{2RC(V_{TH} - V_{TL})}$$



4. Multivibradores astáveis (cont.)

4.4. Multivibrador astável utilizando o circuito integrado 555

Diagrama de blocos do circuito integrado 555:

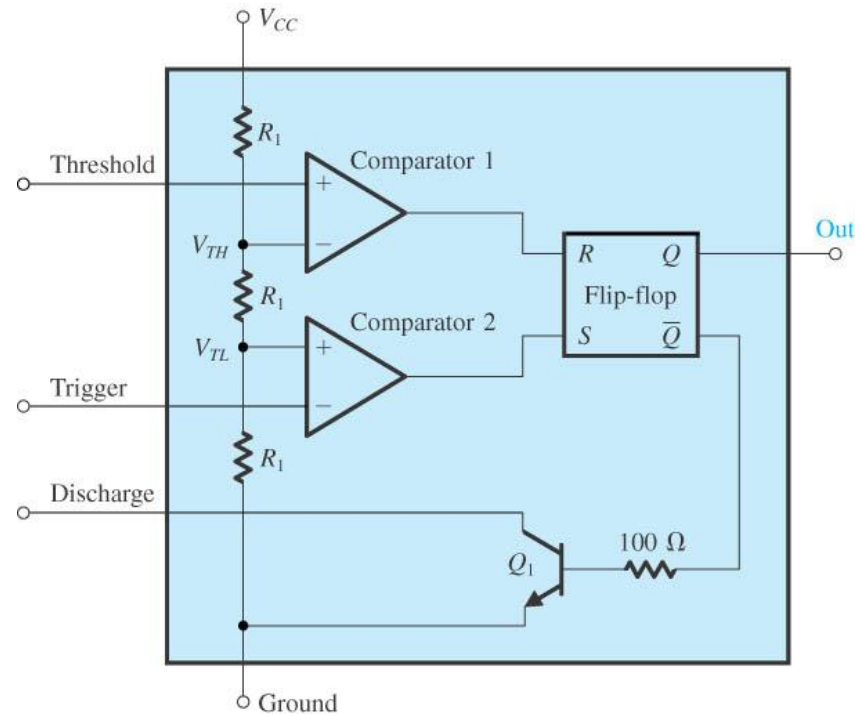
- Dois comparadores
- Um flip-flop SR
- Um transistor Q_1 que funciona como interruptor

O circuito compreende três resistências R_1 de forma a que:

$$\begin{cases} V_{TH} = \frac{2}{3}V_{CC} \\ V_{TL} = \frac{1}{3}V_{CC} \end{cases}$$

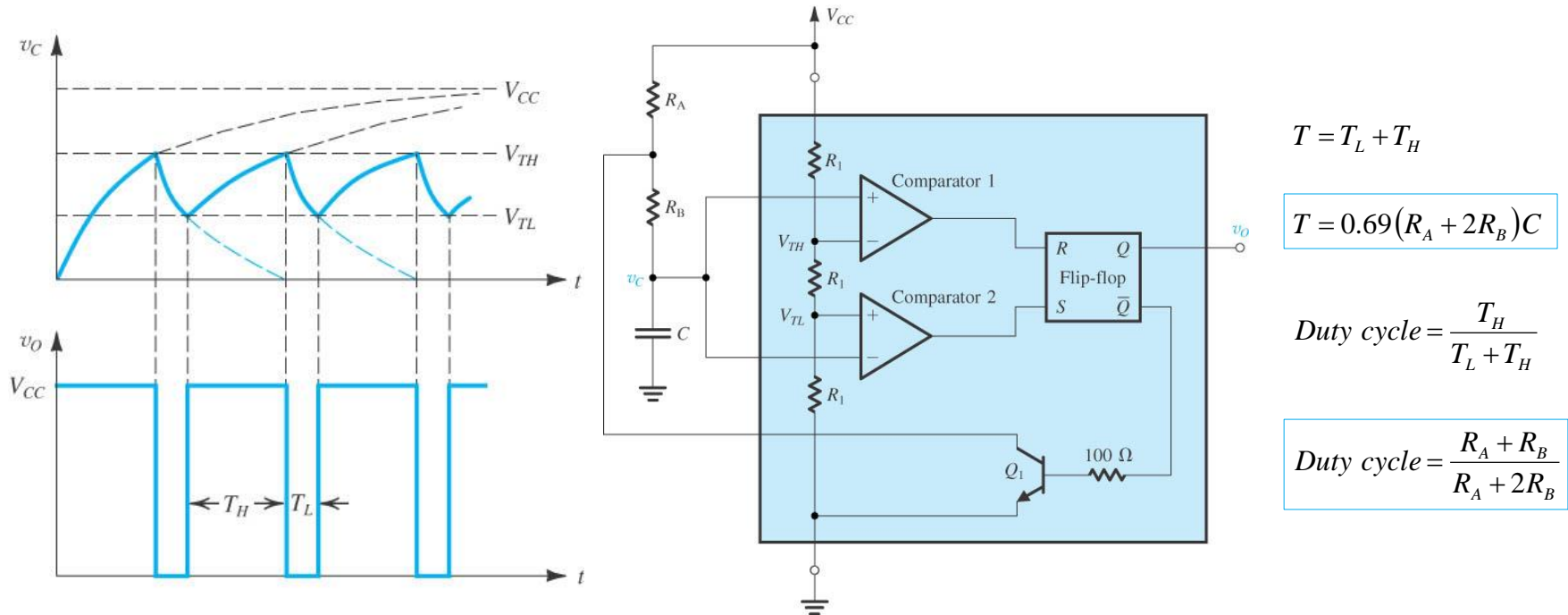
O flip-flop SR é um circuito biestável, com duas saídas complementares (Q e \bar{Q}):

Estado set	$Q = H$ $\bar{Q} = L$	\Leftarrow	$S = H$	$Trigger < V_{TL} = \frac{1}{3}V_{CC}$
Estado reset	$Q = L$ $\bar{Q} = H$	\Leftarrow	$R = H$	$Threshold > V_{TH} = \frac{2}{3}V_{CC}$



4. Multivibradores astáveis (cont.)

4.4. Multivibrador astável utilizando o circuito integrado 555 (cont.)



Considerando:

1. Inicialmente C está descarregado ($v_C=0$) e o flip-flop está no estado set ($Q=H, \bar{Q}=L$), estando Q_1 ao corte. O condensador começa a carregar-se através de R_A+R_B .
2. Quando v_C atinge V_{TH} mudando para o estado reset ($Q=L, \bar{Q}=H$), ficando Q_1 saturado. O condensador começa a descarregar-se através de R_B . Ocorre uma nova mudança de estado quando v_C atingir V_{TL} , num instante designado T_L .
3. Quando v_C atinge V_{TL} mudando para o estado set ($Q=H, \bar{Q}=L$), ficando Q_1 ao corte. O condensador começa a carregar-se através de R_A+R_B . Ocorre uma nova mudança de estado quando v_C atingir V_{TH} , num instante designado T_H .

$$\left[v_C = V_{CC} + (0 - V_{CC})e^{-\frac{t}{(R_A+R_B)C}} \right]$$

$$\left[v_C(T_L) = 0 + (V_{TH} - 0)e^{-\frac{T_L}{R_B C}} = V_{TL} \right]$$

$$\left[T_L = R_B C \ln(2) = 0.69 R_B C \right]$$

$$\left[v_C(T_H) = V_{CC} + (V_{TL} - V_{CC})e^{-\frac{T_H}{(R_A+R_B)C}} = V_{TH} \right]$$

$$\left[T_H = (R_A + R_B) C \ln(2) = 0.69(R_A + R_B) C \right]$$

5. Osciladores LC e a cristal

5.1. Osciladores LC

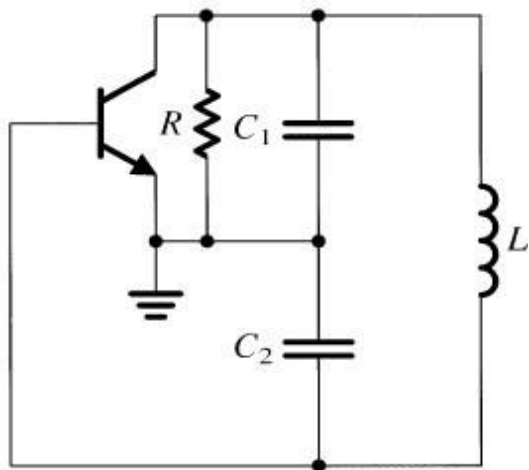
- A desfasagem pode ser realizada mediante uma malha LC.
- Osciladores LC não se usam em baixa frequência devido às dimensões elevadas requeridas pelas bobinas para estas frequências. Além disso, são mais estáveis a altas frequências.
- Usualmente não usam ampops pois estes têm largura de banda mais reduzida face a outros amplificadores.
- Osciladores com grande estabilidade podem ser obtidos usando cristais e ressoadores cerâmicos.
- Aplicações típicas nas áreas de rádio frequência, televisão, rádio e microprocessadores.

5. Osciladores LC e a cristal

5.1. Osciladores LC (cont.)

Osciladores de Colpitts e Hartley

Colpitts



Na Frequência de Ressonância

$$(Z = R + jX \cong jX)$$

$$X_{L_{Total}} = X_{C_{Total}}$$

$$X_{C_{Total}} = X_{C_1} \parallel X_{C_2} \\ = \frac{1}{\omega \left(\frac{C_1 C_2}{C_1 + C_2} \right)}$$

$$X_{L_{Total}} = X_{L_1} \parallel X_{L_2} \\ = \omega (L_1 + L_2)$$

Frequência de Oscilação

$$\omega_0 = \frac{1}{\sqrt{L \left(\frac{C_1 C_2}{C_1 + C_2} \right)}}$$

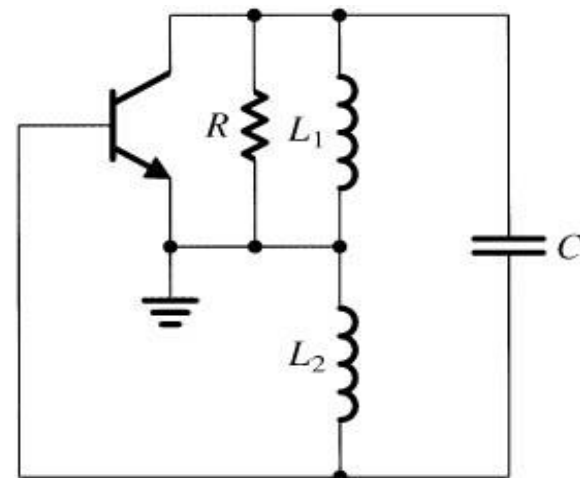
$$\omega_0 = \frac{1}{\sqrt{C (L_1 + L_2)}}$$

Condição de Oscilação

$$g_m R > \frac{C_2}{C_1}$$

$$g_m R > \frac{L_1}{L_2}$$

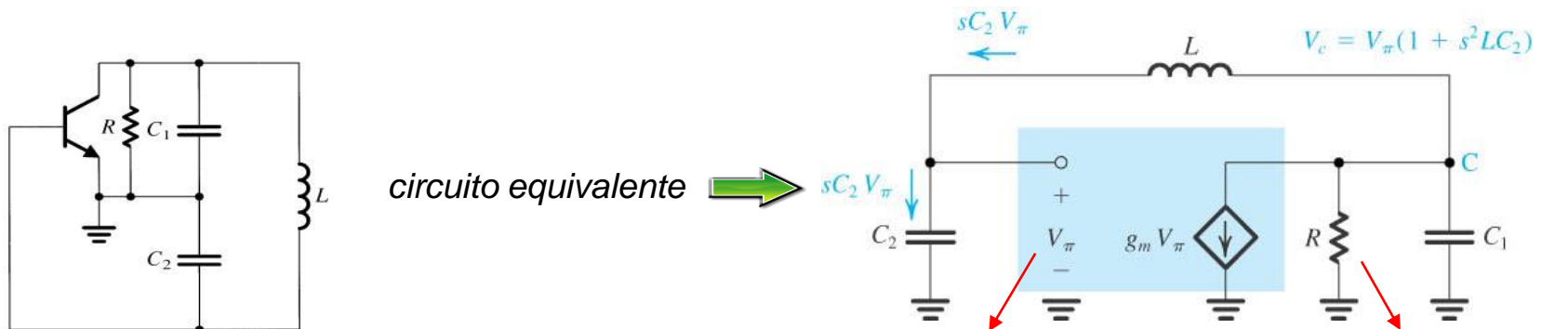
Hartley



5. Osciladores LC e a cristal

5.1. Osciladores LC (cont.)

Condição de Oscilação para Colpitts



C_p incluído em C_2 , r_p e C_m desprezados

R_o está incluído em R

No nó C:

$$sC_2V_\pi + g_mV_\pi + \left(\frac{1}{R} + sC_1\right)(1 + s^2LC_2)V_\pi = 0$$

Eliminando V_π (pois é diferente de zero, substituindo s por $j\omega$ e rearranjando os termos, vem

$$\left(g_m + \frac{1}{R} - \frac{\omega^2LC_2}{R}\right) + j\left[\omega(C_1 + C_2) - \omega^3LC_1C_2\right] = 0$$

Parte imaginária = 0

Parte real = 0

$$\omega_0 = \frac{1}{\sqrt{L\left(\frac{C_1C_2}{C_1 + C_2}\right)}}$$

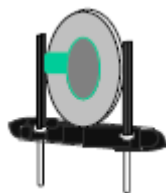
$$g_mR > \frac{C_1}{C_2}$$

5. Osciladores LC e a cristal

5.2. Osciladores a cristal

São realizados depositando um filme condutor sobre faces opostas de um cristal de quartzo (efeito piezoelétrico).

E depois encapsulados

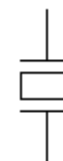


axial

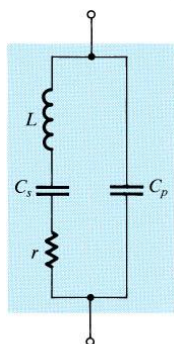


SMD

O símbolo é



Circuito equivalente



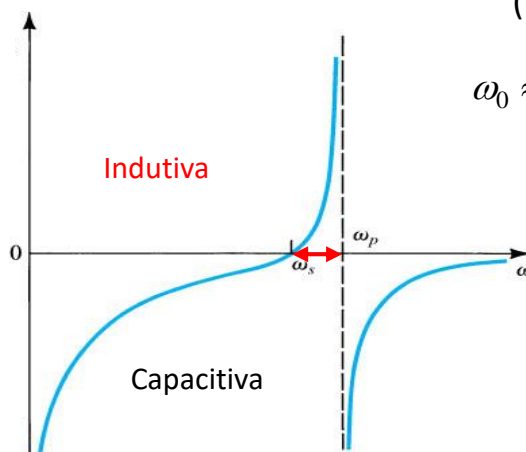
$$\omega_s = \frac{1}{\sqrt{LC_s}}$$

$$\omega_p = \frac{1}{\sqrt{L \left(\frac{C_s C_p}{C_s + C_p} \right)}}$$

$$z(s) = \frac{1}{sC_p + \frac{1}{sL + \frac{1}{sC_s}}}$$

Desprezando r

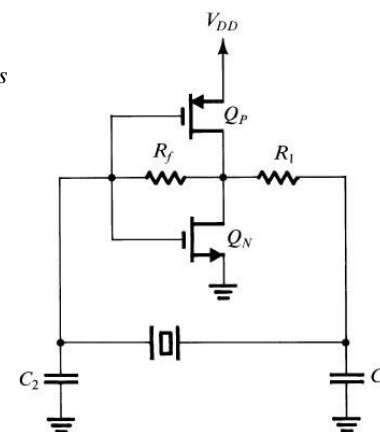
Reactância (desprezando r)



Oscilador de Pierce

(inversor CMOS como amplificador)

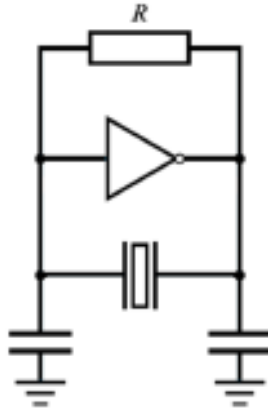
$$\omega_0 \approx \frac{1}{\sqrt{LC_s}} = \omega_s$$



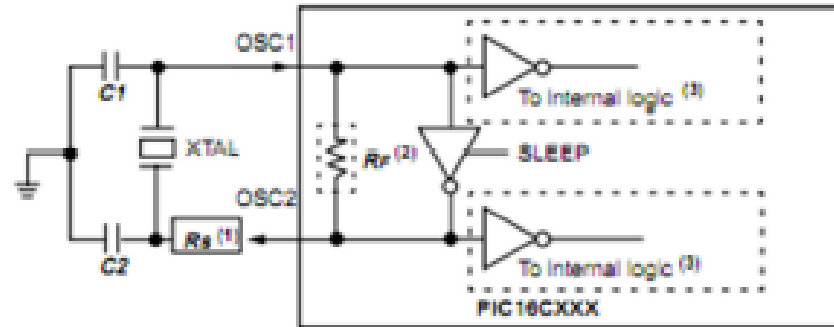
5. Osciladores LC e a cristal

5.2. Osciladores a cristal (cont.)

Outros Exemplos



Com Inversor



Microchip Technology Inc. PIC16CXXX (PIC – Peripheral Interface Controller)